

Table des matières

1. Représentation de la solution approximative (*EF continu* / *EF discontinu*)
 - Notation
 - Représentation locale
 - Représentation globale
2. Une méthode d'éléments finis continus
 - Problème d'ondes (*équation des ondes*)
 - Forme variationnelle approximative
 - Schéma semi-discret
3. Une méthode d'éléments finis discontinus
 - Problème d'ondes (*système pression-vitesse*)
 - Forme variationnelle approximative (*locale*)
 - Schéma semi-discret (*local*)
4. Schéma discret avec Runge-Kutta en temps

Quelques références

- J. S. Hesthaven, T. Warburton (2008). *Nodal Discontinuous Galerkin Methods: Algorithms, Analysis and Applications*, publié par Springer
- Le début des articles :
 - ★ A. Modave, A. St-Cyr, W. A. Mulder, T. Warburton (2015). *A nodal discontinuous Galerkin method for reverse-time migration on GPU clusters*, publié dans *Geophysical Journal International*, 203 (2), 1419-1435
<https://arxiv.org/pdf/1506.00907.pdf> (preprint)
 - ★ A. Modave, A. St-Cyr et T. Warburton (2016). *GPU performance analysis of a nodal discontinuous Galerkin method for acoustic and elastic models*, publié dans *Computers & Geophysics*, 91, 64-76
<https://arxiv.org/pdf/1602.07997.pdf> (preprint)

Représentation de la sol. approx. avec

EF continus

EF discontinus

(1)

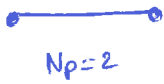
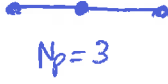
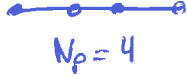
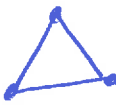
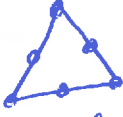
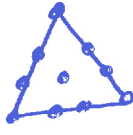
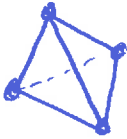

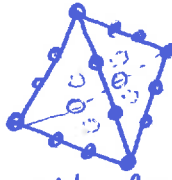
On considère un maillage du domaine

$$\Omega = \bigcup_{k=1}^K D^k$$

domaine
k-ème maille

avec $D^k \cap D^l = \emptyset \quad \forall k \neq l$
 $D^k \neq \emptyset \quad \forall k$

Sur chaque maille, la sol. est approx. par un polynôme d'ordre max. N.
 Pour représenter la sol., on choisit un ensemble de noeuds $\{ \xi_j^k \}_{j=1}^{N_p}$.

	N=1	N=2	N=3	
1D	 N _p =2	 N _p =3	 N _p =4	élément linéaire
2D	 N _p =3	 N _p =6	 N _p =10	élément triangulaire
3D	 N _p =4	 N _p =10	 N _p =20	élément tétraédrique

* Notation

		1D	2D	3D
Nombre de faces	N _{faces}	2	3	4
Nombre de "vertex"	N _v	2	3	4
Nombre de "vertex" par face	N _{fv}	1	2	3
Nombre de noeuds	N _p	N+1	(N+1)(N+2)/2	(N+1)(N+2)(N+3)/6
Nombre de noeuds par face	N _{fp}	1	N+1	(N+1)(N+2)/2

* Représentation locale

Sur chaque maille D^k , la sol. approx. est développée sur une base composée de polynômes de Lagrange $\{l_j^k\}_{j=1-N_p}$

$$p(x,t)|_{D^k} \approx p^k(x,t) = \sum_{j=1}^{N_p} p_j^k(t) l_j^k(x)$$

Nombre de noeuds dans un elem.
fonct° de base locale

Sol. exacte sur D^k
Sol. approx sur D^k

Val. de la sol. approx au noeud ξ_i^k
poly. de Lagrange assoc. au noeud ξ_i^k

propriétés :

$$l_j^k(\xi_i^k) = \delta_{ij}$$

$$p^k(\xi_i^k, t) = p_i^k(t)$$

$$l_j^k(x) = \prod_{i \neq j} \frac{x - \xi_i^k}{\xi_j^k - \xi_i^k}$$

* Représentation globale

CAS CONTINU



La sol. approx. a une seule val. sur chaque noeud d'interf.

On impose la continuité de la sol. approx.
 On peut rep. la sol. approx. avec des fonctions de base globales continues.

$$p(x,t) \approx p_h(x,t) = \sum_{j=1}^{N_{dof}} p_j(t) L_j(x)$$

nombre de noeuds (DOFs) dans tout le maillage.
fonct° de base globale

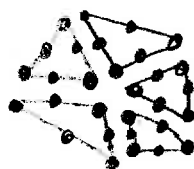
$$V_h = \{ v_h \in C^0(\Omega), v_h|_{D^k} \in P^N(D^k), 1 \leq k \leq K \}$$

CAS DISCONTINU

Pas de continuité de la sol. approx. aux interfaces.
 Elle peut avoir des val. \neq de prt. et d'autr. de chaque interf.

$$p(x,t) \approx p_h(x,t) = \bigoplus_{k=1}^K p^k(x,t)$$

$$V_h = \bigoplus_{k=1}^K P^N(D^k)$$



La sol. approx. a plusieurs valeurs sur chaque noeud d'interface!

Une méthode EF continue

3

* problème d'ondes

Trouver $p(x,t) \in C^1(\Omega, [0,T])$ t.q.

$$\partial_{tt} p - \nabla \cdot (\mu \nabla p) = 0 \quad \underline{x} \in \Omega, t \in [0, T]$$

eqn ondes

$$\partial_n p|_{\partial \Omega} = 0 \quad \underline{x} \in \partial \Omega, t \in [0, T]$$

conditions au limites de Neumann

$$p(\underline{x}, 0) = p_0(\underline{x})$$

$$\partial_t p|_{(\underline{x}, 0)} = p_1(\underline{x})$$

) $\underline{x} \in \Omega$

conditions initiales (C.I.)

* forme variationnelle approx.

Trouver $p_h(\underline{x}, t) \in C^1(V_h, [0, T])$ t.q.

$$d_{tt} \left(\int_{\Omega} p_h(\underline{x}, t) q_h(\underline{x}) d\underline{x} \right)$$

$$+ \int_{\Omega} \mu \nabla p_h(\underline{x}, t) \cdot \nabla q_h(\underline{x}) d\underline{x} = 0,$$

avec $p_h(\underline{x}, 0) = p_{h,0}(\underline{x})$

$$\forall q_h(\underline{x}) \in V_h, t \in [0, T]$$

$$d_t p_h|_{(\underline{x}, 0)} = p_{h,1}(\underline{x})$$

* schéma semi-discrét

On utilise • La représentation $p_h(\underline{x}, t) = \sum_{j=1}^{N_{dof}} p_j(t) L_j(\underline{x})$

• Les fonctions-test $\{L_I\}_{I=1}^{N_{dof}}$

On a :

$$\sum_j \left(\int_{\Omega} L_j L_I d\underline{x} \right) d_{tt} p_j \quad (M)_{IJ}$$

$$+ \sum_j \int_{\Omega} \mu \nabla L_j \cdot \nabla L_I d\underline{x} p_j = 0 \quad (K^{\mu})_{IJ}$$

par $I=1 \dots N_{dof}, t \in [0, T]$

\Rightarrow

$$M d_{tt} [P_j] + K^{\mu} [P_j] = 0$$

▷ tableau avec les inconnues discrètes

▷ matrice de masse

▷ matrice de rigidité

Une méthode EF discontinue

* problème d'ondes

$$\left. \begin{array}{l} \partial_t p + \rho c^2 \nabla \cdot \underline{u} = 0 \\ \rho \partial_t \underline{u} + \nabla p = 0 \end{array} \right\} \underline{x} \in \Omega, t \in [0, T] \quad \text{Syst. ondes}$$

$$\underline{n} \cdot \underline{u} |_{\partial \Omega} = 0 \quad \underline{x} \in \partial \Omega, t \in [0, T] \quad \text{C.L.}$$

$$\left. \begin{array}{l} p(\underline{x}, 0) = p_0(\underline{x}) \\ \underline{u}(\underline{x}, 0) = \underline{u}_0(\underline{x}) \end{array} \right\} \underline{x} \in \Omega \quad \text{C.I.}$$

* sol. approx. (LOCALE)

$$p(\underline{x}, t) |_{D^k} \approx p^k(\underline{x}, t) = \sum_{j=1}^{N_p} p_j^k(t) \ell_j^k(\underline{x})$$

$$\underline{u}(\underline{x}, t) |_{D^k} \approx \underline{u}^k(\underline{x}, t) = \sum_{j=1}^{N_p} \underline{u}_j^k(t) \ell_j^k(\underline{x}) \quad \begin{array}{l} \underline{x} \in D^k \\ t \in [0, T] \end{array}$$

* forme variationnelle approx. (LOCALE)

Trouver $p^k(\underline{x}, t) \in C^1(P^N(D^k); [0, T])$
 $\underline{u}^k(\underline{x}, t) \in C^1((P^N(D^k))^3; [0, T])$, $\forall D^k, t.g.$

$$\int_{D^k} (\partial_t p^k + \rho c^2 \nabla \cdot \underline{u}^k) \psi(\underline{x}) d\underline{x}$$

$$+ \int_{\partial D^k} \boxed{s_p(\underline{x}, t)} \psi(\underline{x}) d\underline{x} = 0$$

$\forall \psi(\underline{x}) \in P^N(D^k)$
 $t \in [0, T]$

$$\int_{D^k} (\rho \partial_t \underline{u}^k + \nabla p^k) \cdot \underline{\phi}(\underline{x}) d\underline{x}$$

$$+ \int_{\partial D^k} \boxed{s_u(\underline{x}, t)} \cdot \underline{\phi}(\underline{x}) d\underline{x} = 0$$

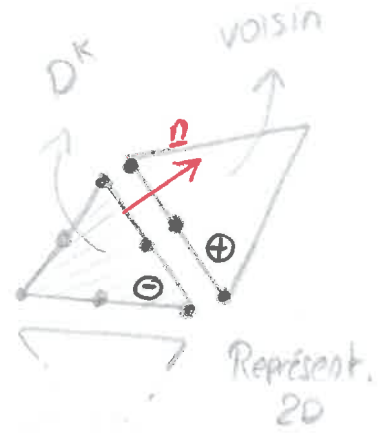
$\forall \underline{\phi}(\underline{x}) \in (P^N(D^k))^3$
 $t \in [0, T]$

Le couplage entre les éléments se fait grâce aux termes de pénalité $s_p(\underline{x}, t)$ et $s_u(\underline{x}, t)$ qui dép. de la solution de part et d'autre de l'interface.

Notation pour écrire les termes de pénalité :

(on utilise des pénalités différentes aux frontières du domaine (PAS DÉPENDENT VOISIN!))

- \underline{n} normale unitaire ext. à D^k sur ∂D^k
- p^\ominus, u^\ominus val. des champs "intérieurs" (càd correspondant à D^k)
- p^\oplus, u^\oplus val. des champs "extérieurs" (càd corresp. au voisin)
- $[[P]] = p^\oplus - p^\ominus$ saut
- $\{ \{ P \} \} = (p^\oplus + p^\ominus) / 2$ moyenne



Choix classique :

$$S_p = \frac{c^\ominus}{\{ \{ \gamma c \} \}} \left(\underline{n} \cdot [[\underline{u}]] - \gamma^\oplus c^\oplus [[P]] \right) \frac{1}{2}$$

$$S_u = \frac{\gamma^\ominus c^\ominus}{\{ \{ \gamma c \} \}} \left([[P]] - \gamma^\oplus c^\oplus \underline{n} \cdot [[\underline{u}]] \right) \underline{n} \frac{1}{2}$$

$$= u_{1,j}^k(t) \hat{x}_1 + u_{2,j}^k(t) \hat{x}_2 + u_{3,j}^k(t) \hat{x}_3$$

* Schéma semi-discret (LOCAL)

On utilise les représentations $p^k(\underline{x}, t) = \sum_{j=1}^{N_p} p_j^k(t) \ell_j(\underline{x})$ (A)

$\underline{u}^k(\underline{x}, t) = \sum_{j=1}^{N_p} \underline{u}_j^k(t) \ell_j(\underline{x})$ (A)

les fonctions-test $\{ \ell_i^k \}_{i=1}^{N_p}$ pour $\psi(\underline{x})$ (B)

$\{ \ell_i^k \hat{x}_1, \ell_i^k \hat{x}_2, \ell_i^k \hat{x}_3 \}_{i=1}^{N_p}$ pour $\phi(\underline{x})$ (B)

On suppose γ et c constant par élément :

$$\left| \begin{array}{l} \gamma(\underline{x}) = \gamma^k \\ c(\underline{x}) = c^k \end{array} \right. \text{ pour } \underline{x} \in D^k \quad \text{(C)}$$

On considère l'éqn qui gouverne $p^k(\underline{x}, t)$ ($t > 0$)

• $\int_{D^k} (\partial_t p^k + \varphi^k (c^k)^2 \nabla \cdot \underline{u}^k) \Psi \, d\underline{x} + \int_{\partial D^k} s_p \Psi \, d\underline{x} = 0, \forall \Psi$

• $\int_{D^k} (\partial_t p^k \Psi) \, d\underline{x} + \sum_{d=1}^3 \int_{D^k} \varphi^k (c^k)^2 (\partial_{x_d} u_d^k) \Psi \, d\underline{x}$
indice direct° spatiale ↳ composante "x_d" de \underline{u}^k

+ $\sum_{f=1}^4 \int_{\Gamma_f^k} s_p \Psi \, d\underline{x} = 0, \forall \Psi$
indice f face "f" de D^k



4 faces pour tet.
 $\partial D^k = \bigcup_{f=1}^4 \Gamma_f^k$

vu (A) & (B)

• $\int_{D^k} (\sum_{j=1}^{N_p} (d_t p_j^k e_j^k) e_i^k) \, d\underline{x}$
 + $\sum_{d=1}^3 \int_{D^k} \varphi^k (c^k)^2 (\sum_{j=1}^{N_p} u_d^k |j \partial_{x_d} e_j^k) e_i^k \, d\underline{x}$
 + $\sum_{f=1}^4 \int_{\Gamma_f^k} (\sum_{\substack{j \text{ tel que} \\ \underline{x}_j^k \in \Gamma_f^k}} s_p |j e_j^k) e_i^k \, d\underline{x} = 0, \text{ pour } i=1 \dots N_p$

On évalue ce "terme de surface" en utilisant les noeuds appartenant à Γ_f^k
 pénalité évaluée au noeud $\sum_j \underline{x}_j^k$

vu (C)

• $\sum_{j=1}^{N_p} \int_{D^k} e_j^k e_i^k \, d\underline{x} \, d_t p_j^k$ (M^k)_{ij}
 + $\varphi^k (c^k)^2 \sum_{d=1}^3 \sum_{j=1}^{N_p} \int_{D^k} \partial_{x_d} e_j^k e_i^k \, d\underline{x} \, u_d^k |j$ (S_d^k)_{ij}
 + $\sum_{f=1}^4 \sum_{\substack{j \text{ tel que} \\ \underline{x}_j^k \in \Gamma_f^k}} \int_{\Gamma_f^k} e_j^k e_i^k \, d\underline{x} \, s_p |j = 0, \text{ par } i=1 \dots N_p$
(\tilde{M}_f^k)_{ij}

matrice $N_p \times N_p$

$\Rightarrow \underline{M}^k \, d_t [P_j^k] + \varphi^k (c^k)^2 \sum_{d=1}^3 \underline{S}_d^k [u_d^k |j] + \sum_{f=1}^4 \underline{\tilde{M}}_f^k [s_p |j] = 0$

matrice $N_p \times N_p$

matrice $N_p \times N_{fp}$

tableau termes de pénalités (N_{fp} val.)

tableau d'inconnues (N_p val.)

On considère l'eqn qui gouverne $\underline{u}^k(x, t)$ ($t > 0$)

• $\int_{D^k} (\varphi^k \partial_t \underline{u}^k + \nabla p^k) \cdot \underline{\phi} \, d\underline{x} + \int_{\partial D^k} \underline{s}_u \cdot \underline{\phi} \, d\underline{x} = 0, \forall \underline{\phi}$

• $\int_{D^k} (\varphi^k \partial_t \underline{u}^k \cdot \underline{\phi}) \, d\underline{x} + \sum_{d=1}^3 \int_{D^k} (\partial_{x_d} p^k \hat{x}_d) \cdot \underline{\phi} \, d\underline{x} + \sum_{f=1}^4 \int_{\Gamma_f^k} \underline{s}_u \cdot \underline{\phi} \, d\underline{x} = 0, \forall \underline{\phi}$
vec unitaire correp. à dir. x_d

$v_u \text{ (A) (B)}$

• $\int_{D^k} (\varphi^k \sum_{j=1}^{N_p} (d_t u_{d|j}^k e_j^k) e_i^k) \, d\underline{x} + \int_{D^k} (\sum_{j=1}^{N_p} p_j^k \partial_{x_d} e_j^k) e_i^k \, d\underline{x} + \sum_{f=1}^4 \int_{\Gamma_f^k} (\sum_{\substack{j \text{ tel que } \\ \underline{s}_j^k \in \Gamma_f^k}} s_{ud|j}^k e_j^k) e_i^k \, d\underline{x} = 0$
↳ composante " x_d " de \underline{u}^k
par $i = 1 \dots N_p$
 $d = 1, 2, 3$

$v_u \text{ (C)}$

• $\varphi^k \sum_{j=1}^{N_p} \int_{D^k} e_j^k e_i^r \, d\underline{x} \, d_t u_{d|j}^k + \sum_{j=1}^{N_p} \int_{D^k} \partial_{x_d} e_j^k e_i^r \, d\underline{x} \, p_j^k + \sum_{f=1}^4 \sum_{\substack{j \text{ tel que } \\ \underline{s}_j^k \in \Gamma_f^k}} \int_{\Gamma_f^k} e_j^k e_i^r \, d\underline{x} \, s_{ud|j}^k = 0,$
(Π^k)_{ij} (S_d^k)_j
($\tilde{\Pi}_f^k$)_{ij} par $i = 1 \dots N_p$
 $d = 1, 2, 3$

$\Rightarrow \varphi^k \underline{\Pi}^k \, d_t [\underline{u}_{d|j}^k] + \underline{S}_d^k [p_j^k] + \sum_{f=1}^4 \underline{\tilde{\Pi}}_f^k [s_{ud}] = 0$

pour $d = 1, 2, 3$

* Résumé du schéma semi-discret (LOCAL) 4 systèmes de N_p eqn à N_p inconnues pour chaque élem D^k (8)

$$\begin{aligned} \underline{\underline{M}}^k d_t [P_j^k] + \varphi^k (c^k)^2 \sum_{d=1}^3 \underline{\underline{S}}_d^k [u_{d|j}^k] \\ + \sum_{f=1}^4 \underline{\underline{M}}_f^k [S_{p|j}^k] = 0 \\ \varphi^k \underline{\underline{M}}^k d_t [u_{d|j}^k] + \underline{\underline{S}}_d^k [P_j^k] \\ + \sum_{f=1}^4 \underline{\underline{M}}_f^k [S_{u_{d|j}^k}] = 0, \quad d=1,2,3 \end{aligned}$$

• Amélioration 1 : On pré-calculé l'inverse de $\underline{\underline{M}}^k$ et on pré-multiplie les équations par $(\underline{\underline{M}}^k)^{-1}$
 → Il n'y a plus de matrice devant le premier terme.
 → Devant les autres, on a :
 $(\underline{\underline{M}}^k)^{-1} \underline{\underline{S}}_d^k = \underline{\underline{D}}_d^k$ mat. DIFFERENTIATION
 $(\underline{\underline{M}}^k)^{-1} \underline{\underline{M}}_f^k = \underline{\underline{L}}_f^k$ mat. "LIFT"

• Amélioration 2 : On calcule $\underline{\underline{D}}_d^k$ et $\underline{\underline{L}}_f^k$ pour D^k sur base des mat. $\underline{\underline{D}}_d$ et $\underline{\underline{L}}_f$ de l'elem. de ref. $\hat{\Omega}$

$$\begin{aligned} \underline{\underline{D}}_d^k &= \sum_{e=1}^3 g_{de}^k \underline{\underline{D}}_e \text{ --- matrices de ref} \\ \underline{\underline{L}}_f^k &= \underline{\underline{F}}_f^k \underline{\underline{L}}_f \text{ --- facteurs géométriques pour passer de l'elem. de ref. } \hat{\Omega} \text{ à } D^k \end{aligned}$$

$$\begin{aligned} d_t [P_j^k] + \varphi^k (c^k)^2 \sum_{d=1}^3 \sum_{e=1}^3 g_{de}^k \underline{\underline{D}}_e [u_{d|j}^k] + \sum_{f=1}^4 \underline{\underline{F}}_f^k \underline{\underline{L}}_f [S_{p|j}^k] = 0 \\ \varphi^k d_t [u_{d|j}^k] + \sum_{e=1}^3 g_{de}^k \underline{\underline{D}}_e [P_j^k] + \sum_{f=1}^4 \underline{\underline{F}}_f^k \underline{\underline{L}}_f [S_{u_{d|j}^k}] = 0, \quad d=1,2,3 \end{aligned}$$

termes instationnaires

termes de VOLUME

termes de SURFACE

Schéma discret avec Runge-Kutta en temps

On réécrit le schéma semi-discret de façon abstraite

$$dt \begin{bmatrix} [p_j^k] \\ [u_{1j}^k] \\ [u_{2j}^k] \\ [u_{3j}^k] \end{bmatrix} = \begin{bmatrix} -\rho^k (ck)^2 \sum_d \bar{z}_e g_{de}^k \underline{D}_e [u_{dj}^k] - \sum_f F_f^k \underline{L}_f [S_{p1j}^k] \\ -\nu \rho^k \sum_e g_{1e}^k \underline{D}_e [p_j^k] - \nu \rho^k \sum_f F_f^k \underline{L}_f [S_{u1j}^k] \\ -\nu \rho^k \sum_e g_{2e}^k \underline{D}_e [p_j^k] - \nu \rho^k \sum_f F_f^k \underline{L}_f [S_{u2j}^k] \\ -\nu \rho^k \sum_e g_{3e}^k \underline{D}_e [p_j^k] - \nu \rho^k \sum_f F_f^k \underline{L}_f [S_{u3j}^k] \end{bmatrix}$$

q^k \underline{rhs}^k (Right-hand-side term)

\leadsto $dt q^k = \underline{rhs}^k$

On résout ce système en utilisant un schéma temporel classique
 ex: Euler, Adams-Bashforth, Runge-Kutta ...

• Euler explicite

$$\frac{q^{k,m+1} - q^{k,m}}{\Delta t} = \underline{rhs}^{k,m}$$

indice "temps" ←
pas temporel

Right-hand-side term calculé en utilisant $q^{k,m}$

$\leadsto q^{k,m+1} = q^{k,m} + \Delta t \underline{rhs}^{k,m}$

• Runge-Kutta "44" (4 niveaux - erreur $\mathcal{O}(\Delta t^4)$)

$$q^{k,m+1} = q^{k,m} + \Delta t \sum_{n=0}^3 b_n \underline{rhs}^{k,m+n/4}$$

avec $\tilde{q}^{k,m+\alpha/4} = q^{k,m} + \Delta t \sum_{n=0}^{\alpha} a_{\alpha n} \underline{rhs}^{k,m+\alpha/4}$ $\alpha=1,2,3$
 $\underline{rhs}^{k,m+\alpha/4}$ (calculé en utilisant $\tilde{q}^{k,m+\alpha/4}$)

• Runge-Kutta "Low-storage" "54" (5 niveaux - erreur $\mathcal{O}(\Delta t^4)$)

$$q^{k,m+1} = \tilde{q}^{k,m+1}$$

avec $\tilde{q}^{k,m+(n+1)/5} = \tilde{q}^{k,m+n/5} + b_n \underline{res}^{k,m+(n+1)/5}$
 $\underline{res}^{k,m+(n+1)/5} = a_n \underline{res}^{k,m+n/5} + \Delta t \underline{rhs}^{k,m+(n+1)/5}$ $n=0,1,2,3,4$
 $\underline{rhs}^{k,m+n/5}$ (calculé en utilisant $\tilde{q}^{k,m+n/5}$)

(note: $a_0 = 0$)

Version algorithmique:

Initialisation: $q^{k,0}$ (temps $t=0$) $\forall k$.

FOR $m=0,1,\dots$

FOR $n=0,1,2,3,4$

calcul de $\underline{rhs}^{k,m+n/5}$ en utilisant $q^{k,m+n/5}$ $\forall k$

$$\underline{res}^{k,m+(n+1)/5} = a_n \underline{res}^{k,m+n/5} + \Delta t \underline{rhs}^{k,m+n/5} \quad \forall k$$

$$\underline{q}^{k,m+(n+1)/5} = q^{k,m+n/5} + b_n \underline{res}^{k,m+(n+1)/5} \quad \forall k.$$

END

END

↳ boucle intérieure: itérations sur 5 niveaux

↳ boucle extérieure: itérations sur les pas de temps.